

# Kategorie:Patologie

## Subcategories

This category has the following 3 subcategories, out of 3 total.

### H

- ▶ Histopatologické preparáty (1 C, 1 P, 548 F)

### P

- ▶ Patologická schémata (44 F)
- ▶ Patologické preparáty (1. LF UK) (83 P, 215 F)

## Pages in category "Patologie"

The following 200 pages are in this category, out of 896 total.

(previous page) (next page)

### A

- Abraze (stomatologie)
- Absces
- Absces plic
- Achalázie
- Achondroplázie
- Actinomyces israeli
- Adaptace tkání a orgánů
- Addisonova choroba
- Adenoameloblastom
- Adenom
- Adnexitida
- Aftózní stomatitida
- Akantóza
- Aktinomykóza
- Akutní autoimunitní trombocytopenická purpura
- Akutní bronchitida
- Akutní faryngitida
- Akutní lymfoblastická leukemie
- Akutní lymfoblastická leukémie
- Akutní myeloidní leukemie
- Akutní nekróza pankreatu
- Akutní pankreatitida (laboratorní diagnostika)
- Akutní subdurální hematom
- Akutní zánět
- Albinismus
- Alergická onemocnění dýchacího ústrojí
- Alergická profesionální onemocnění dýchacích cest a plic
- Alergie
- Alportův syndrom
- Alveolitis purulenta
- Alzheimerova choroba
- Ameloblastický fibrom
- Ameloblastom
- Amyloidóza
- Amyloidóza ledvin
- Amyloidóza/PGS
- Anafylaxe
- Aneurysma
- Angina pectoris
- Angiofibrom nosohltanu
- Aniridie
- Aničkovovy buňky
- Ankylozující spondylartritida
- Anorganické látky v budovách
- Antrakóza
- Antrax
- Anémie

- **Anémie**
  - Anémie chronických chorob
  - Aortální stenóza
  - Apoptóza
  - Arachnoidální cysty
  - Arterioskleróza
  - Arteriální hypertenze
  - Arthritis uratica
  - Arthrogryposis multiplex congenita
  - Arytmogenní kardiomyopatie
  - Aschoffovy buňky
  - Ascites
  - Asfyxie
  - Astma
  - Astrocytom
  - Atelektáza
  - Ateroskleróza
  - Atopický ekzém
  - Atrice
  - Atrofie
  - Atrézie jícnu
  - Atypické pneumonie
  - Autoimunitní onemocnění
  - Autoimunitní pankreatitida
  - Avaskulární kostní nekróza
  - Azbest
  - Azbestóza
  - Azotemie

## B

- Bakteriální endokarditis (preparát)
- Bakteriémie
- Balzerova nekróza
- Bannayan-Riley-Ruvalcabaův syndrom
- Barrettův jícen
- Bartterův syndrom
- Barvení hematoxylin-eosin
- Bazaliom
- Bazaliom/PGS
- Bence-Jonesova bílkovina
- Benigní
- Benigní hyperplazie prostaty
- Benigní nádory ledvin
- Benigní nádory slinných žláz
- Benigní onemocnění prsu
- Biologické vlastnosti nádorů
- Biologie nádorového růstu
- Biopsie
- Blackfanova-Diamondova anémie
- Boerhaaveův syndrom
- Botulismus
- Bowenova nemoc
- BRCA
- Brennerův tumor
- Bronchiektázie
- Bronchiolitida
- Bronchogenní karcinom
- Bronchogenní karcinom/PGS
- Brucelóza
- Brutonova agamaglobulinemie
- Buddův-Chiariho syndrom
- Burkittův lymfom
- Buňka
- Bércový vřed
- Bílkoviny v séru a moči (1. LF UK, VL)

## C

- Candidosis
- Castlemanova choroba
- Cementom
- Charcotův-Marieův-Toothův syndrom
- Charvátův příznak
- Cherubismus

- Chlopenní vady
- Choledocholitiáza
- Cholelitiáza
- Cholesteatom
- Chondrom
- Chondrosarkom
- Choroby nehtů
- Chronická (autoimunitní) tyreoiditida
- Chronická bronchitida
- Chronická cholecystitida
- Chronická lymfatická leukemie
- Chronická myeloidní leukemie
- Chronická onemocnění plic
- Chronická pankreatitida
- Chronické leukemie (rozcestník)
- Chronický subdurální hematom
- Chronický zánět
- Chřipka
- Cirkulační kolaps
- Cirkulující nádorové buňky
- Cor pulmonale
- Cowdenové syndrom
- Crohnova choroba
- Crohnova choroba/etiopatogeneze
- Cronkhite-Canada syndrom
- Cushingův syndrom
- Cysta choledochu
- Cystická fibróza
- Cystická medionekróza
- Cysty
- Cytopatologie
- Celiakie

## D

- Decubitus
- Defekt septa komor
- Defekt septa síní
- Degenerativní onemocnění krční páteře
- Dehydratace (pediatrie)
- Uživatel: DenKazeka/Píškoviště Crohn
- Depistáž
- Dermatitis contacta allergica
- Dermatitis herpetiformis
- Dermatitis perioralis
- Dermatitis seborrhoica
- Dermatofytózy
- Deterministické účinky ionizujícího záření
- Dextrokardie
- Diabetes mellitus
- Diabetes mellitus 1. typu (endokrinologie)
- Diabetická noha
- Dialyzační amyloidóza
- Diastrofický dwarfismus
- Diferenciální diagnostika ikteru
- Diftérie
- Dilatační kardiomyopatie
- Disekce hrudní aorty
- Diseminovaná intravaskulární koagulace
- Distribuční šok
- Divertikly jícnu
- Divertikulární nemoc tlustého střeva
- Druhy kloubních poranění a zásady léčení
- Dunbarův syndrom
- Dysmenorrhoea
- Dysplázia
- Dystrofie
- Dysurie
- Dědičné metabolické poruchy komplexních molekul
- Dětská struma
- Důsledky portální hypertenze

## E

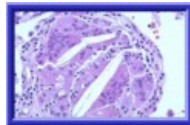
- Edém mozku

- Ehrlichioza
  - Ekchymóza
  - Embolie
  - Embolus
  - Emfyzém
  - Encefalitida
  - Encefalopatie
  - Enchondromatóza
  - Endokarditida
  - Endokrinní onemocnění gonád
  - Endometrióza
  - Eosinofilní angiocentrická fibróza
  - Eozinofilie
  - Eozinopenie
  - Ependymom (patologie)
  - Epidermolysis bullosa congenita
- (previous page) (next page)

## Media in category "Patologie"

The following 149 files are in this category, out of 149 total.





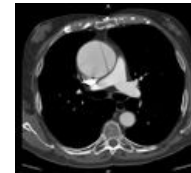
Cholesterolový kr...  
212 × 140; 11 KB



Crohn1.jpg  
300 × 250; 83 KB



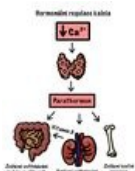
Crohn2.jpg  
300 × 254; 73 KB



Disekce ascenden...  
1,046 × 977; 212 KB



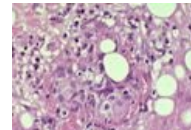
Disekce descenden...  
1,017 × 766; 193 KB



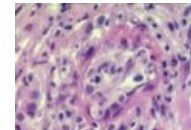
Down regulace C...  
1,668 × 2,154; 347 KB



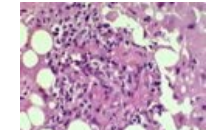
Extrapulmonální ...  
533 × 370; 92 KB



Fibrin ring granul...  
533 × 403; 83 KB



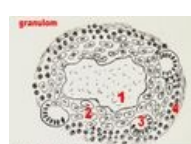
Fibrin ring granul...  
533 × 400; 64 KB



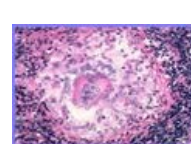
Fibrin ring granul...  
533 × 407; 77 KB

Staging	Grade	Tumor size	Nodal status	Distant metastasis
I	1	< 2 cm	0	0
I	1	< 2 cm	1	0
I	2	< 2 cm	0	0
I	2	< 2 cm	1	0
I	3	< 2 cm	0	0
I	3	< 2 cm	1	0
II	1	> 2 cm	0	0
II	1	> 2 cm	1	0
II	2	> 2 cm	0	0
II	2	> 2 cm	1	0
II	3	> 2 cm	0	0
II	3	> 2 cm	1	0
III	1	any size	any	any
III	2	any size	any	any
III	3	any size	any	any
IV	any	any	any	any

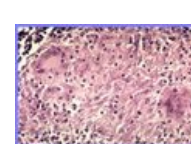
GIST staging.pdf  
1,239 × 1,754; 88 KB



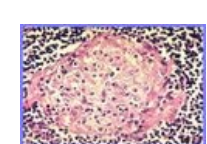
Granulom.jpg  
615 × 464; 62 KB



Granuloma non-n...  
310 × 210; 28 KB



Granuloma non-n...  
310 × 210; 31 KB



Granuloma non-n...  
310 × 210; 35 KB



Gross sarcoid bhl...  
500 × 333; 46 KB



Gross sarcoid bhl...  
600 × 397; 74 KB



Gross sarcoid bhl...  
424 × 600; 67 KB



Gross sarcoid ho...  
500 × 333; 48 KB



Gross sarcoid ho...  
768 × 512; 98 KB



Gross sarcoid LN...  
600 × 446; 47 KB



Gross sarcoid no...  
500 × 333; 29 KB



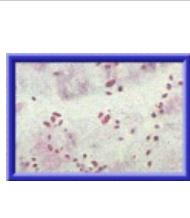
Gross sarcoid sca...  
500 × 333; 60 KB



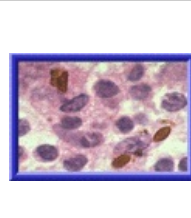
Gross sarcoid spl...  
600 × 428; 55 KB



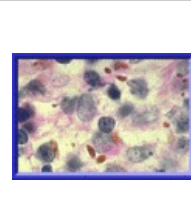
Gross sarcoid spl...  
600 × 420; 62 KB



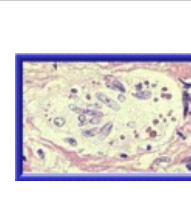
Hamazaki-Wes...  
216 × 149; 11 KB



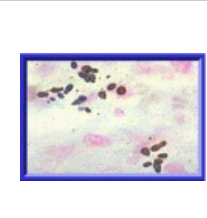
Hamazaki-Wes...  
215 × 149; 12 KB



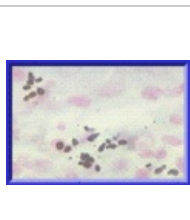
Hamazaki-Wes...  
212 × 144; 12 KB



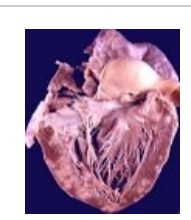
Hamazaki-Wes...  
213 × 147; 12 KB



Hamazaki-Wes...  
212 × 146; 10 KB



Hamazaki-Wes...  
210 × 142; 7 KB



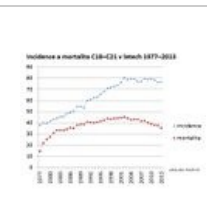
Heart-sarcoidosis...  
400 × 481; 47 KB



Hypertrofie PK 2.j...  
640 × 599; 129 KB



Hypertrofie PK.jpg  
500 × 369; 141 KB



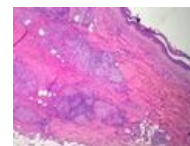
Incidence a mort...  
667 × 503; 62 KB



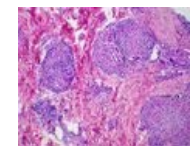
JCutanAesthetSur...  
743 × 558; 60 KB



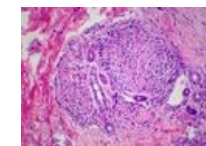
Kidneyamy.jpg  
768 × 512; 73 KB



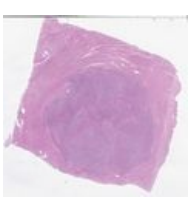
Kveim test 1.jpg  
533 × 400; 104 KB



Kveim test 2.JPG  
533 × 400; 111 KB



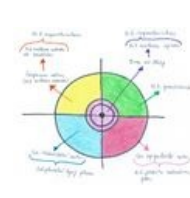
Kveim test 3.JPG  
533 × 400; 82 KB



Leiomyom 10 28...  
1,440 × 1,418; 710  
KB



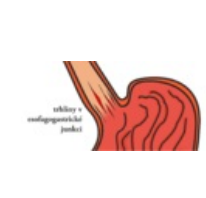
LG tubulární ade...  
747 × 599; 63 KB



Lymf odtok prsu.j...  
1,448 × 1,236; 162  
KB



Lymfom.PNG  
482 × 450; 476 KB



Mallory-Weiss sy...  
1,143 × 551; 186  
KB



Meckelův divertic...  
3,264 × 2,448; 1.7  
MB



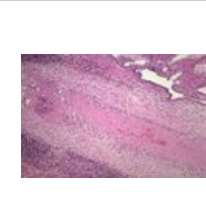
Meta játra.jpg  
400 × 320; 79 KB



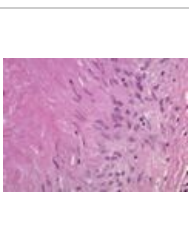
Myoma.png  
1,736 × 1,345; 942  
KB



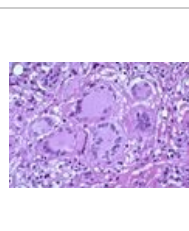
Necrobiotic post-...  
533 × 310; 62 KB



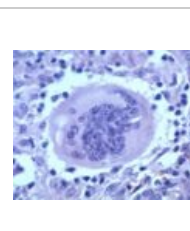
Necrobiotic post-...  
533 × 355; 87 KB



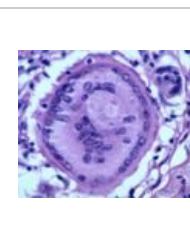
Necrobiotic post-...  
533 × 387; 45 KB



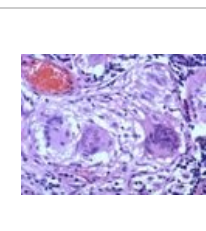
Obrovské mnoho...  
533 × 360; 72 KB



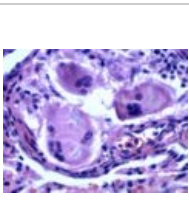
Obrovské mnoho...  
533 × 429; 54 KB



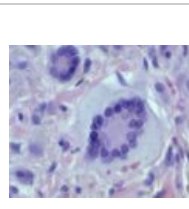
Obrovské mnoho...  
533 × 427; 57 KB



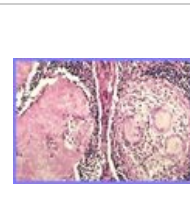
Obrovské mnoho...  
533 × 404; 71 KB



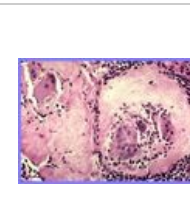
Obrovské mnoho...  
533 × 411; 56 KB



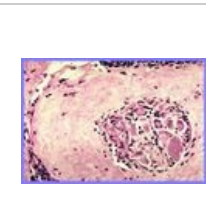
Obrovské mnoho...  
533 × 438; 46 KB



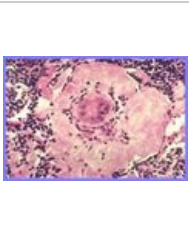
Osud granulomu ...  
310 × 210; 32 KB



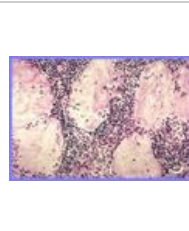
Osud granulomu ...  
310 × 210; 28 KB



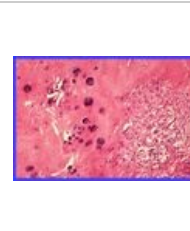
Osud granulomu ...  
310 × 210; 27 KB



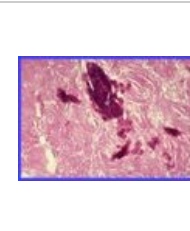
Osud granulomu ...  
310 × 210; 28 KB



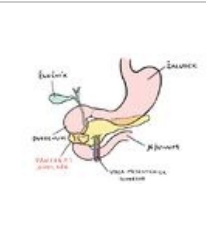
Osud granulomu ...  
310 × 210; 28 KB



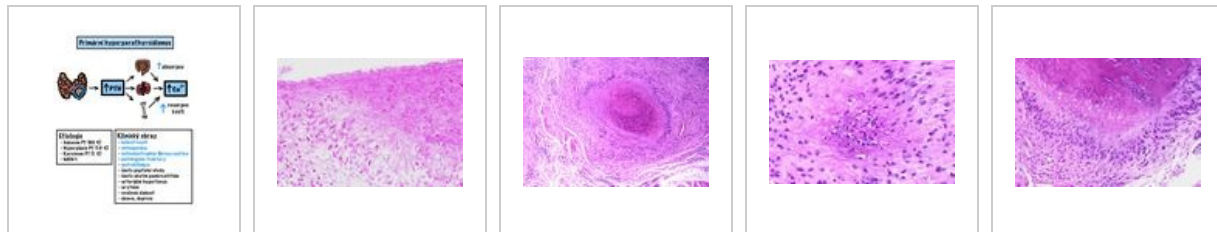
Osud granulomu ...  
310 × 210; 25 KB



Osud granulomu ...  
310 × 210; 25 KB



Pancreas-anulare...  
3,086 × 2,182; 415  
KB



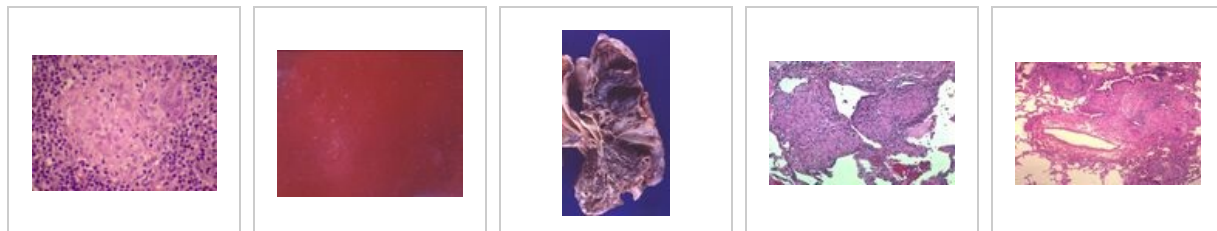
Primärní hyperpa...  
1,668 × 2,154; 467 KB

Rheumatoid nod ...  
533 × 367; 53 KB

Rheumatoid nod ...  
533 × 371; 93 KB

Rheumatoid nod ...  
533 × 357; 60 KB

Rheumatoid nod ...  
533 × 370; 69 KB



Sarcoid -LN2 SP0...  
533 × 392; 60 KB

Sarcoid gross liv...  
533 × 423; 18 KB

Sarcoid gross lun...  
400 × 683; 62 KB

Sarcoid lunginv1...  
600 × 401; 84 KB

Sarcoid lunginv1...  
600 × 396; 97 KB



Sarcoid lunginv2...  
600 × 394; 116 KB

Sarcoid lunginv6...  
262 × 178; 24 KB

Sarcoid lunginv7...  
600 × 399; 126 KB

Sarcoid skin S75...  
608 × 456; 182 KB

Sarcoid skin S75...  
608 × 456; 179 KB



Sarcoid-LN SP03...  
533 × 400; 68 KB

Sarcoidosis extra...  
600 × 400; 57 KB

Sarcoidosis extra...  
600 × 401; 114 KB

Sarcoidosis extra...  
600 × 392; 80 KB

Sarcoidosis extra...  
600 × 398; 65 KB



Sarkoidóza - hist...  
262 × 178; 24 KB

Sarkoidóza - hist...  
600 × 414; 125 KB

Sarkoidóza - hist...  
600 × 398; 106 KB

Sarkoidóza - hist...  
600 × 393; 87 KB

Sarkoidóza - výv...  
600 × 401; 72 KB



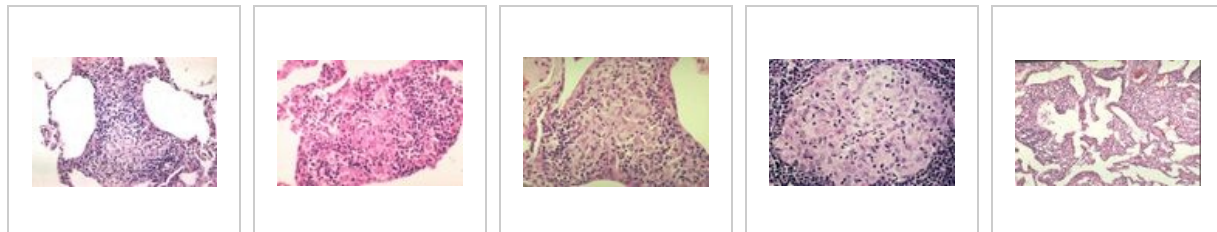
Sarkoidóza - výv...  
600 × 396; 75 KB

Sarkoidóza - výv...  
600 × 399; 91 KB

Sarkoidóza - výv...  
600 × 432; 67 KB

Sarkoidóza - výv...  
490 × 587; 97 KB

Sarkoidóza - výv...  
600 × 441; 88 KB



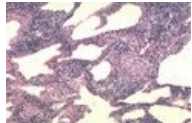
Sarkoidóza - výv...  
600 × 419; 83 KB

Sarkoidóza - výv...  
600 × 406; 62 KB

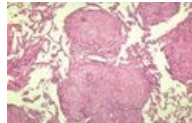
Sarkoidóza - výv...  
600 × 420; 75 KB

Sarkoidóza - výv...  
600 × 409; 87 KB

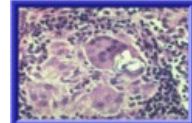
Sarkoidóza - výv...  
600 × 406; 125 KB



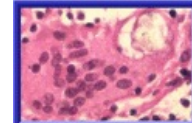
Sarkoidóza - výv...  
585 × 383; 107 KB



Sarkoidóza - výv...  
600 × 394; 99 KB



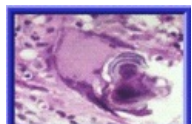
Schaumanovy in...  
214 × 148; 14 KB



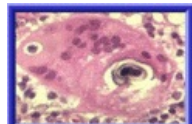
Schaumanovy in...  
212 × 146; 11 KB



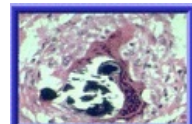
Schaumanovy in...  
214 × 146; 14 KB



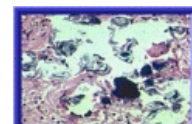
Schaumanovy in...  
214 × 148; 11 KB



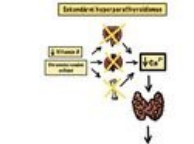
Schaumanovy in...  
214 × 150; 12 KB



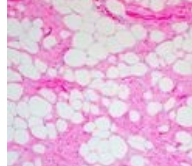
Schaumanovy in...  
216 × 151; 14 KB



Schaumanovy in...  
215 × 146; 15 KB



Snímek 134.JPG  
4,000 × 3,000;  
2.02 MB



Spindle cell lipo...  
442 × 442; 196 KB



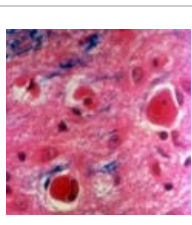
Spinocel.jícen2.JPG  
646 × 528; 281 KB



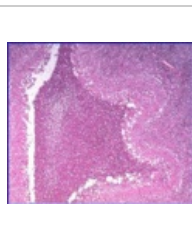
Spinocel.jícenJPG...  
647 × 530; 243 KB



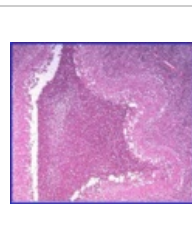
Stenozující tendo...  
1,500 × 823; 169 KB



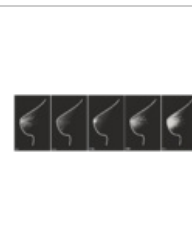
Subakutní skeróz...  
300 × 300; 36 KB



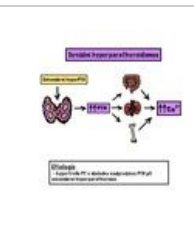
Suppurative stell...  
354 × 311; 45 KB



Suppurative stell...  
359 × 315; 45 KB



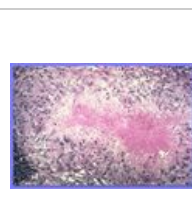
Tabár I-V.png  
5,627 × 1,757; 816 KB



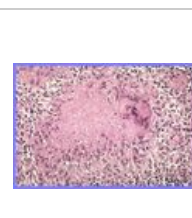
Tn sarcoid gross l...  
100 × 66; 2 KB



Tuberkulóza - Gr...  
310 × 210; 29 KB



Tuberkulóza - ne...  
310 × 210; 30 KB



Tuberkulóza - ne...  
310 × 210; 33 KB



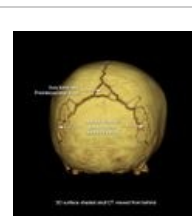
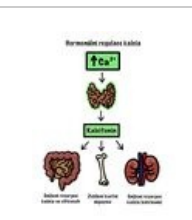
Tuberkulóza 003.jpg  
600 × 476; 64 KB



Tumor sigma.JPG  
348 × 295; 20 KB



Třešňová skvrna...  
1,991 × 2,072; 443 KB



WormianBones.jpg  
820 × 820; 65 KB